

南海海洋科学集刊

NANHAI STUDIA MARINA SINICA

第 3 集

中国科学院南海海洋研究所 编辑

科学出版社

8003

南 海 海 洋 科 学 集 刊
NANHAI STUDIA MARINA SINICA

第 3 集

中国科学院南海海洋研究所 编辑

科 学 出 版 社

1982

内 容 简 介

《南海海洋科学集刊》是中国科学院南海海洋研究所的学术集刊。第3集有海洋地质地貌、水文气象、生物等方面的论文报告共13篇。其中，地质地貌方面有：《西江磨刀门河口动力地貌》、《海南岛蜂房珊瑚类骨骼细结构的初步观察》、《从考古发现看西沙群岛珊瑚礁的成长率》、《琼州海峡海底地形研究》、《海南岛-大亚湾浅海区表层沉积物中重矿物的初步研究》；水文气象方面有：《南海北部北纬 18° 断面冬季水温热结构的分析》、《外观海浪谱及其估计》、《台风海平面风场及散度场的数学模拟》、《西沙群岛附近海域海-气界面热量交换》；生物方面有：《合浦珠母贝人工育苗的研究II·幼虫和幼苗的培养》、《几种珠母贝及其杂种染色体的初步观察》、《凝花菜四分孢子的萌发》、《洋浦港海洋污损生物》等。这些报告和论文对于开发利用南海海洋资源、海洋工程、航运交通、水产渔业以及科研、生产、教学等单位都有参考价值。

南 海 海 洋 科 学 集 刊

第 3 集

中国科学院南海海洋研究所 编辑

*

科 学 出 版 社 出 版

北京朝阳门内大街 137 号

中 国 科 学 院 印 刷 厂 印 刷

新华书店北京发行所发行 各地新华书店经售

*

1982年7月第一版 开本：787×1092 1/16

1982年7月第一次印刷 印张：8 1/8 插页：11

印数：0001—2,540 字数：197,000

统一书号：13031·1923

本社书号：2608·13—17

定 价：2.20 元

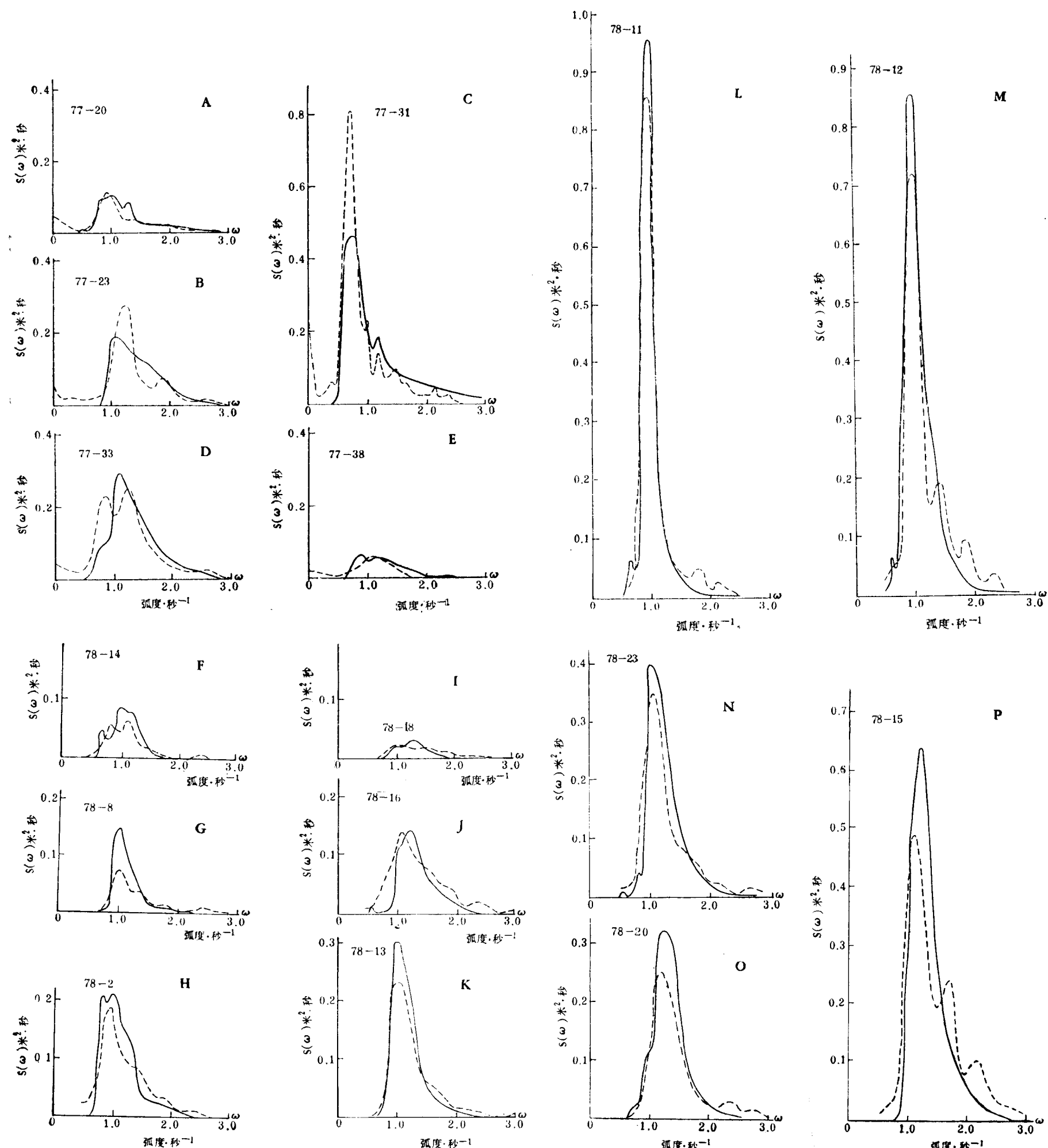


图1 外观海浪谱谱形(实线)与文献[2]估计的通常的海浪谱谱形(虚线)的比较

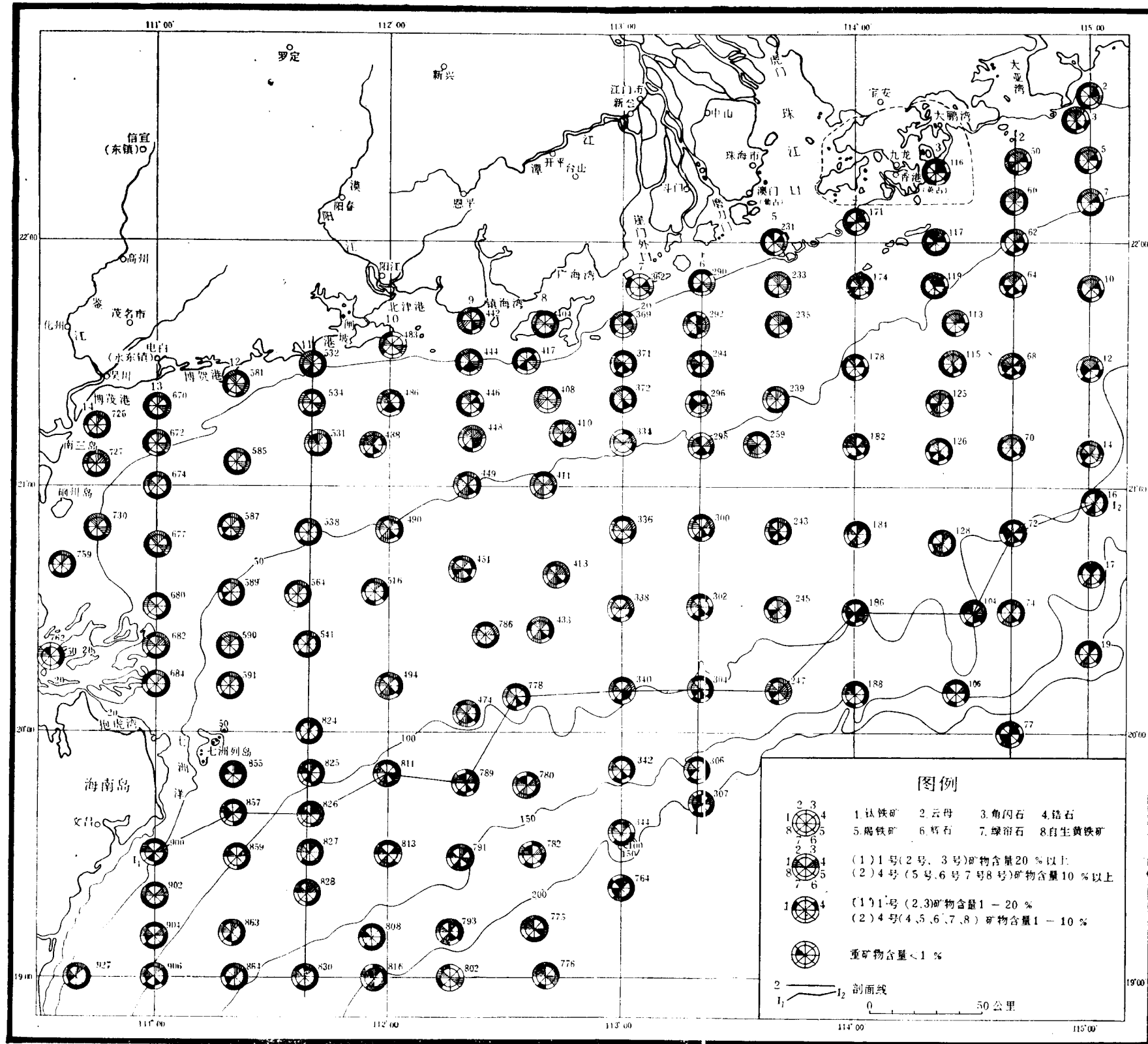


图1 海南岛-大亚湾浅海区表层沉积物中主要重矿物颗粒百分含量分布图

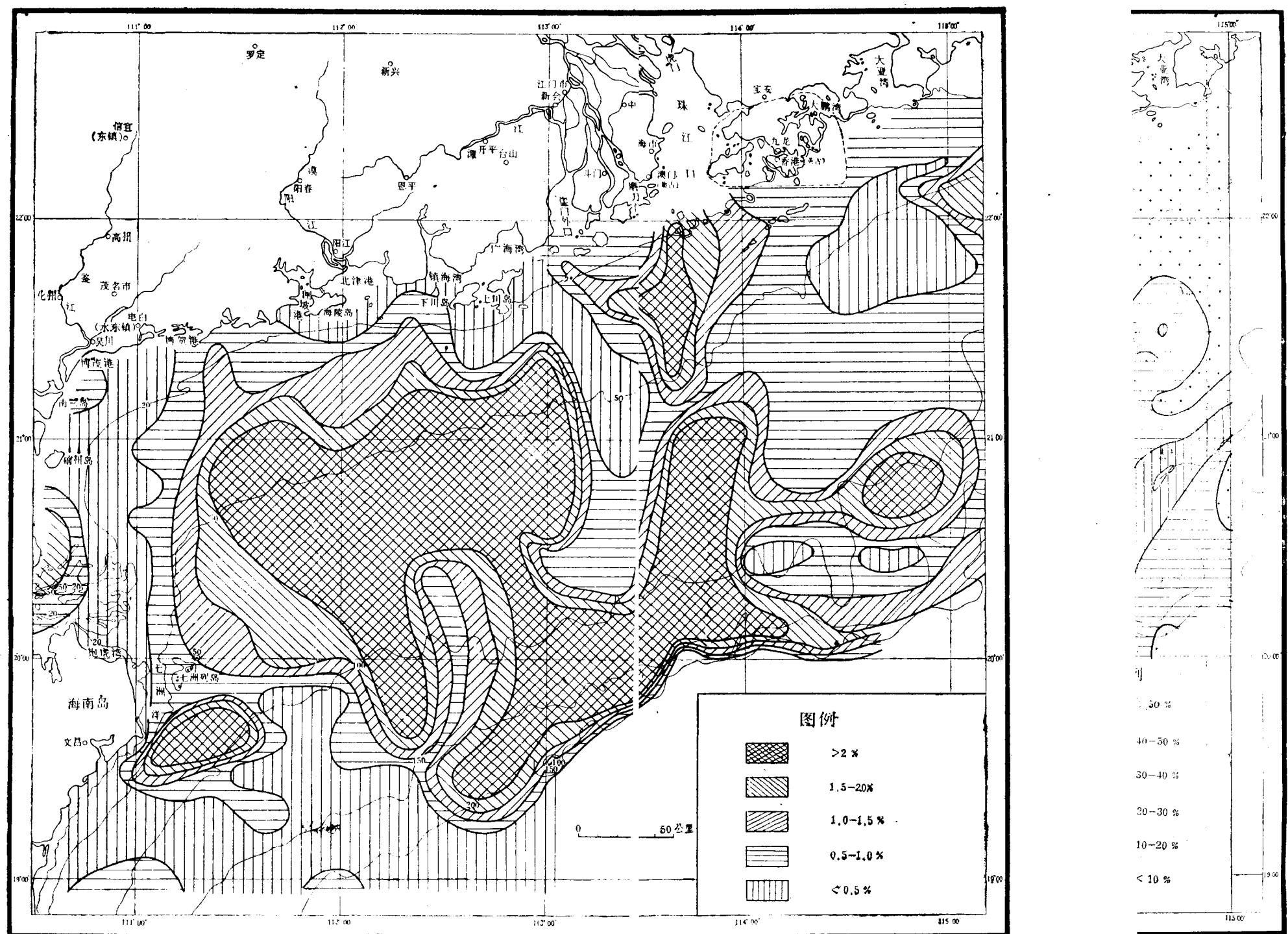


图 2 海南岛-大亚湾浅海区表层沉积物中重矿物百分含量分布图

目 录

- 西江磨刀门河口动力地貌.....赵焕庭、欧兴进、宋朝景 (1)
海南岛蜂房珊瑚类骨骼细结构的初步观察.....聂宝符 (23)
从考古发现看西沙群岛珊瑚礁的成长率.....何纪生、钟晋樑 (37)
琼州海峡海底地形研究.....梁元博、谢以萱 (45)
海南岛-大亚湾浅海区表层沉积物中重矿物的初步研究... 海洋沉积研究室矿物组 (57)
南海北部北纬 18° 断面冬季水温热结构的分析.....郭忠信 (69)
外观海浪谱及其估计.....陈俊昌 (73)
台风海平面风场及散度场的数学模拟.....袁叔尧、徐家隽 (81)
西沙群岛附近海域海-气界面热量交换.....陈特固 (91)
合浦珠母贝人工育苗的研究 II. 幼虫和幼苗的培养.....金启增、魏贻尧、姜卫国 (99)
几种珠母贝及其杂种染色体的初步观察.....姜卫国、魏贻尧 (111)
凝花菜四分孢子的萌发.....王永川 (123)
洋浦港海洋污损生物.....董 钰 (129)

CONTENTS

- Dynamic Geomorphology of Modao Men, One of the River Mouths of Xijiang
(West River) Zhao Huanting, Ou Xingjin, Song Chaojing (21)
- Preliminary Observations on the Fine Structure of Faviids from Hainan Island.....
..... Nie Baofu (31)
- On the Growth Rate of Coral Reefs in Xisha Islands from Archaeological Evidence
..... He Jisheng, Zhong Jinliang (41)
- Submarine Topography of the Qiongzhou Strait Liang Yuanbo, Xie Yixuan (55)
- A Preliminary Study of Heavy Minerals at the Surface Deposits in the Shallow
Waters between Hainan Island and the Dayawan Bay
..... Mineralogy Group of Marine Sediment Laboratory (67)
- An Analysis of the Vertical Thermal Structure of Cross-section through Northern
Part of the South China Sea near 18°N in Winter Guo Zhongxin (72)
- The Apparent Ocean Wave Spectrum and Its Estimation Chen Junchang (80)
- Mathematical Models of Wind and Divergence Fields of Typhoon at the Sea Level
..... Yuan Shuyao, Xu Jiajun (90)
- The Sea-Air Interface Heat Exchange in the Adjacent Waters Around the Xisha
Islands, South China Sea Chen Tegu (97)
- On the Artificial Rearing of Larvae and Juvenile of Pearl Oyster *Pinctada*
martensi II. The Rearing of the Larvae and Juvenile
..... Jin Qizeng, Wei Yiyao, Jiang Weiguo (109)
- A Preliminary Observation of the Chromosomes in Several Species of Pearl Oysters
and Their Hybrids Jiang Weiguo, Wei Yiyao (118)
- Tetraspore Germination of *Gelidiella acerosa* (Forskal) Wang Yongchuan (127)
- Marine Fouling Organisms at Yangpu Harbor Dong Yu (139)

西江磨刀门河口动力地貌

赵焕庭 欧兴进 宋朝景
(中国科学院南海海洋研究所)

西江是华南最长大的河流。汇入珠江三角洲各河(除潭江外)总的多年平均年径流量为3,019.8亿立方米,其中西江占78.2%。西江进入珠江三角洲以后,不断分汊,并同北江下游的汊道交织在一起,水流互相灌注。西江主干自马口峡经甘竹、灯笼山等地出海,称磨刀门水道。以西江马口站下泄流量为100%计,分配到各汊道去的水量以磨刀门为最多,占28.67%。在珠江三角洲八大口门中,磨刀门是泄出年径流量最多的口门。

磨刀门地区的地质地理、水文水利及其改造利用问题,早就引人关注^[1-18,21]。近二十年来,先后多次在此开展河口学的调查研究*。珠江三角洲整治办公室(1975)和广东省水利科学研究所(1976)关于珠江三角洲整治规划的设想中,都拟通过三角洲中、上部联围筑闸,让更多的西江水、沙从磨刀门泄出。1977年我所受珠江三角洲整治办公室的委托,会同有关单位又一次开展了磨刀门河口的水文泥沙调查。本文是在这项工作**的基础上,对磨刀门河口地貌发育问题作进一步的概括和探讨。

一、磨刀门河口的形成和演变

本区在大地构造上为华南准地台的一部分,中生代燕山运动发生断裂和大规模的岩浆活动,构造受北东-南西和北西-南东向两组断裂系交叉的支配,以后在喜马拉雅运动时,又受差异性振荡运动的影响,发生块断隆起或陷落,造成许多块状山丘和盆地。冰后期海侵及珠江冲积的结果,形成了具有棋盘状分布的山丘、岛列、低地和水网特色的珠江三角洲。北西向的西江断裂制约了磨刀门水道的走向。北东向的紫金-广海断裂带的大断裂从粤东通过本区北边的五桂山,其次一级同向断裂在本区主要有两条,北线从申塘、马角嘴横过磨刀门到白蕉、沙美,雍陌附近有两池温泉,是断裂线存在的表象;南线从造贝经磨刀门至白藤、南水。北线以北是块断上升的山列,从五桂山(505米)断续地绵延到大黄杨(591米);南线以南为牛筋头(403米)、大霖山、南水山列,以及大、小横琴和三灶岛列。南北线之间是块断陷落区,呈长方形,分布着平原。磨刀门河口地处两组断裂带的交叉处,山丘岛屿林立,水道分歧。河口通过小横琴北面的马骝洲水道(上沟)、大横琴与横洲之间的小香洲水道、横洲与三灶之间的龙屎窟口门、三灶与大霖之间的大门通往外海(图1,图2)。

* 据赵焕庭等1961、1962年资料,董兆英1963年资料,吴文中等1964年资料,广东省农林水工程总队1970年资料,佛山地区河道整治办公室1971年资料,中山大学河口研究组1973年资料。

** 参加此项工作的主要人员:本所赵焕庭、宋朝景、欧兴进、程明豪、张乔民、李永兴(已调离本所),珠江三角洲整治办公室吴超羽、连德新。本所张乔民、黄成发、林鸿雄、陈欣树、曾流明、冯进光、郑寿瑜等参加水文测验,王碌漪、李云章、周武昌(已调离本所)、林怀兆等作泥沙分析,吴文中作重矿物鉴定;中山大学杨干然、应秩甫参加汛期水文测验。本文曾在1979年9月广东省地理学会地貌专业组会上宣读过。蒙吴文中和叶汇教授审阅,提供了宝贵的意见,陈素华清绘图件,谨致谢忱。



图1 磨刀门河口地区卫星照片
(据 NASA 地球资源技术卫星 1 号, 1973 年 12 月 25 日拍摄)

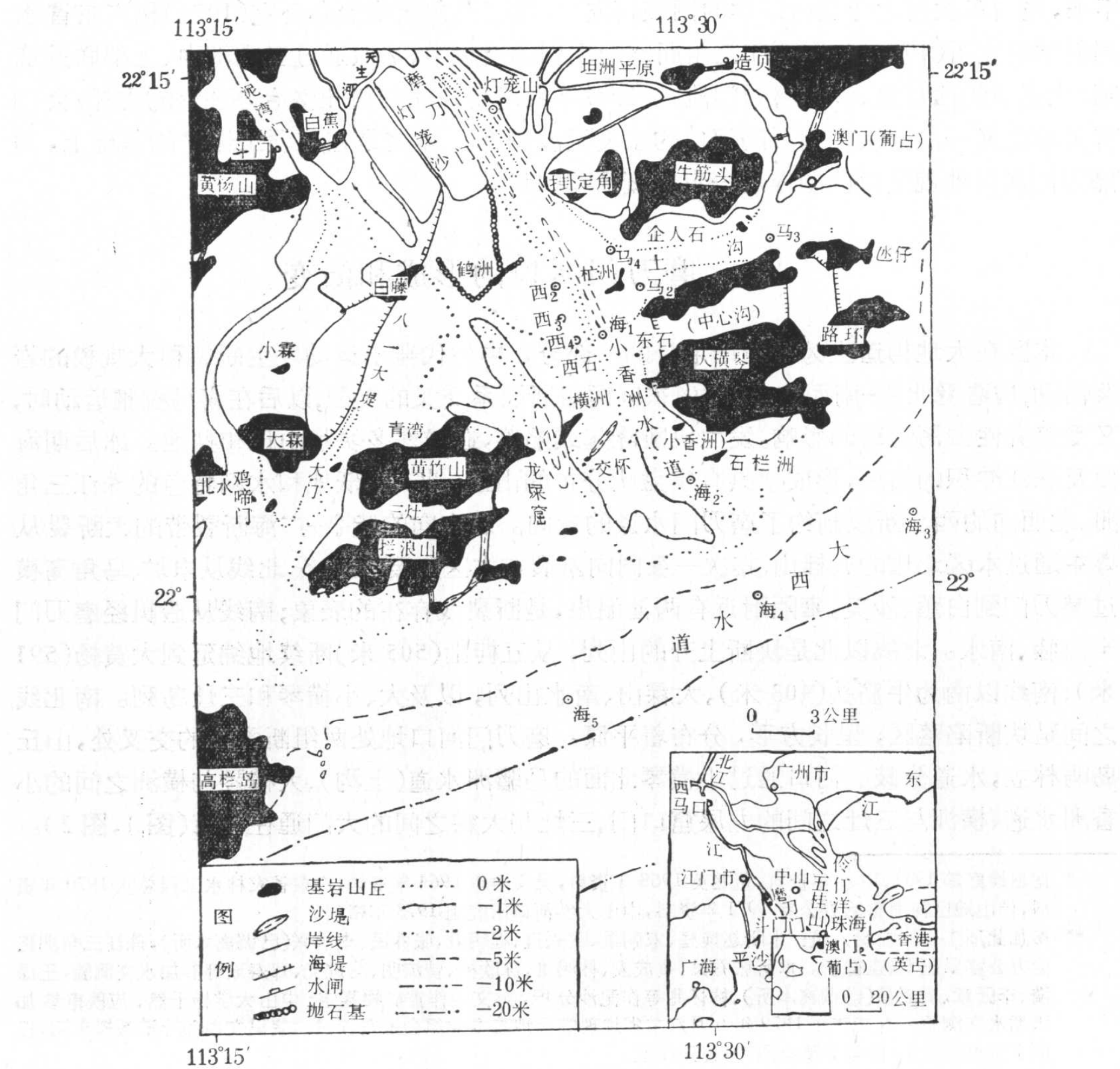


图2 磨刀门河口地形

山丘和岛屿绝大部分是燕山期花岗岩，局部山丘残留有少量的古生界变质岩系及侏罗系砂页岩。由基岩构成的岛礁，促进河口和河床的淤积，影响堆积地形的发展和分布。珠江三角洲平原多以基岩丘为核心呈镶嵌式发展，在河口演变过程中自上而下最终并连起来的。口门山丘形成门状地形。由于断块在中生代以来几次间歇性上升的结果，山地与岛屿普遍存在 400、200—250、80—120 米三级剥蚀面和 40—50、20—25、12 和局部有 5 米四级台地或阶地。山丘周围分布有古海崖、海蚀穴、沙堤和泻湖遗迹^[2,9]，表示海侵时曾经沦为岛屿。坦洲平原南边造贝村沙堤揭露出新石器时代的完整的磨制双肩石斧、网坠及夹砂粗红陶器的碎片等。河口前沿的三灶、大横琴等临海地方，发育有现代的海崖和沙堤。1959 年初建成白藤堵海大堤，使泥湾门水流集中鸡啼门出海，河口全部归属磨刀门水道出口。1964 年建成了白藤至大霖的八大堤，1971 年建成了大、小横琴之间的中心沟堵口工程，勾画了河口的范围。水下地形主要可分为磨刀门深槽及其拦门沙、鹤洲-交杯沙沙脊（水下天然堤）和白藤-三灶分流间浅水海湾等三个平行展布的地貌类型。河口外是缓浅的口外海滨。

综合此间钻孔资料看，河口堆积物最大厚度约 40 米，底板是花岗岩风化壳和埋藏的河流堆积物（图 3, 4）。河口堆积物最下部是厚约 2 米的淤泥质砂层，—26—40 米为含

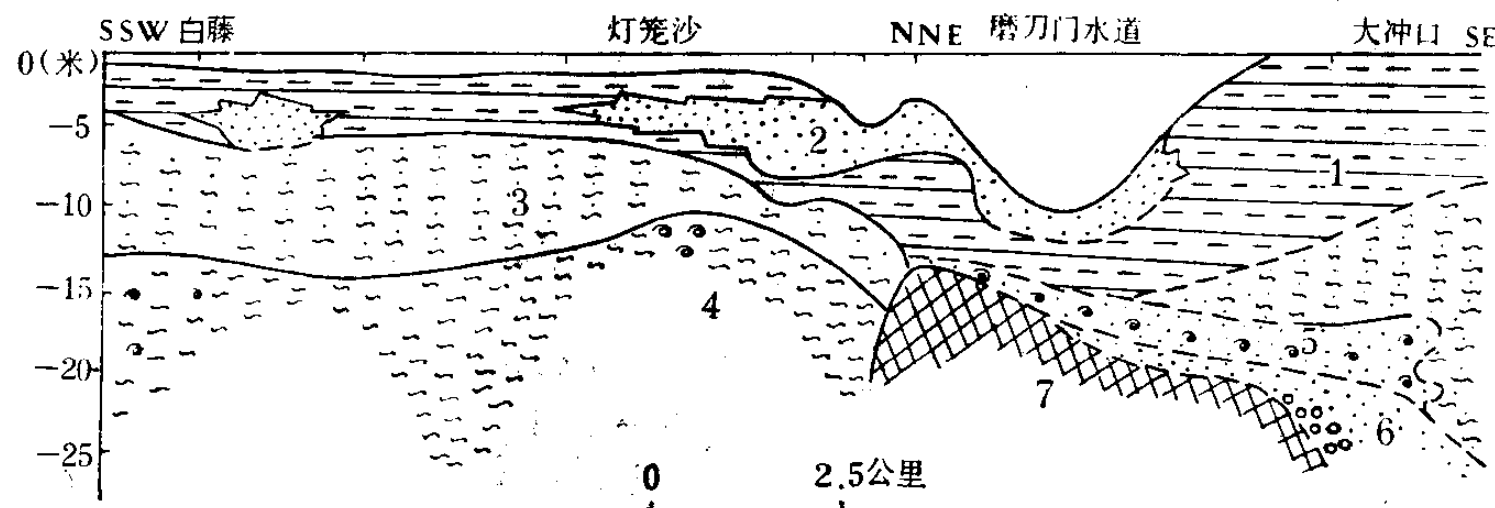


图 3 白藤-大冲口沉积剖面

1. 粉砂淤泥；2. 细砂与粉砂；3. 含砂淤泥；4. 蚝壳淤泥；5. 蚝壳砂层；6. 砂砾层；7. 花岗岩风化壳
(综合中山县 1958 年钻孔资料, 中山大学 1966 年灯笼沙浅钻资料及本所底质采样资料)

腐木淤泥层，—17—26 米为厚约 1—3 米的富含海相贝壳（牡蛎、蛤、扇贝、海螺）和珊瑚碎屑的淤泥层，上部—3—12 米为砂质透镜体和同期异相的含针螺、小蛤的粉砂淤泥层，表层为淤泥堆积。由此可恢复磨刀门河口总的演变过程：晚更新世早期低海面时，为古西江水系的河流堆积；冰后期海面上涨，早全新世海侵可能发生古西江三角洲陆上沉积（含腐木淤泥层）；中全新世大西洋期海侵，先造成咸水环境下的远口内陆架堆积或口外海滨堆积，继而经历了拦门沙的发育与移走阶段，残留的拦门沙侧翼叠加沙嘴的堆积；现处于河床洲滩及粉砂淤泥平原的发育阶段。

据王存（1085）《元丰九域志》所述，今坦洲平原乃宋朝的金斗湾，当时盛产渔盐。宋绍

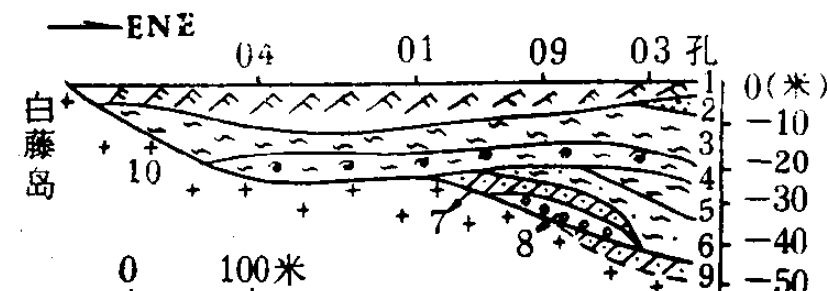


图 4 白藤岛东堤地质剖面

1. 人工填土和淤泥；2. 细砂与粉砂；3. 淤泥；4. 蚝壳淤泥；5. 含腐木淤泥；6. 砂质淤泥；7. 砂质粘土；8. 砂砾层；9. 花岗岩风化壳；10. 花岗岩
(据广东省水电厅勘测设计院)

兴年间(1131—1162)的香山场,包括金斗盐场。明正统年间(1436—1449),开始有人筑基挡潮蓄淡垦田,到万历年间(1573—1620),由于珠江三角洲南伸,磨刀门淡水冲出,金斗湾水域淡化,盐场名存实亡。大约清代中叶以后,坦洲平原已淤成一定规模*。磨刀门西边和泥湾门口一带,19世纪初还只有白藤等几个岛屿屹立于海水中**。据1853年和1883年海图,磨刀门处于马角嘴和小托之间,磨刀岛雄峙口门中。河口的岸线从东边的企人石、挂定角向北弯进坦洲平原至马角嘴,越过磨刀岛至白蕉、泥湾门、乾务。19世纪末廖廷相(1891)《广东舆地图说》就详细地描述了当时岸线的上述位置。那时灯笼沙未出露,磨刀门与泥湾门之间还有两个小汊口:黄麐门(位于小托南)和马脐门(位于白蕉东)。

1853年磨刀门水道为单一的深槽,5米等深线直通外海,无沙洲,大排沙只是水深2.7米的心滩,竹排沙未见形迹;石栏洲西面深槽中有点高起,最浅点为4.6米,似是拦门沙雏

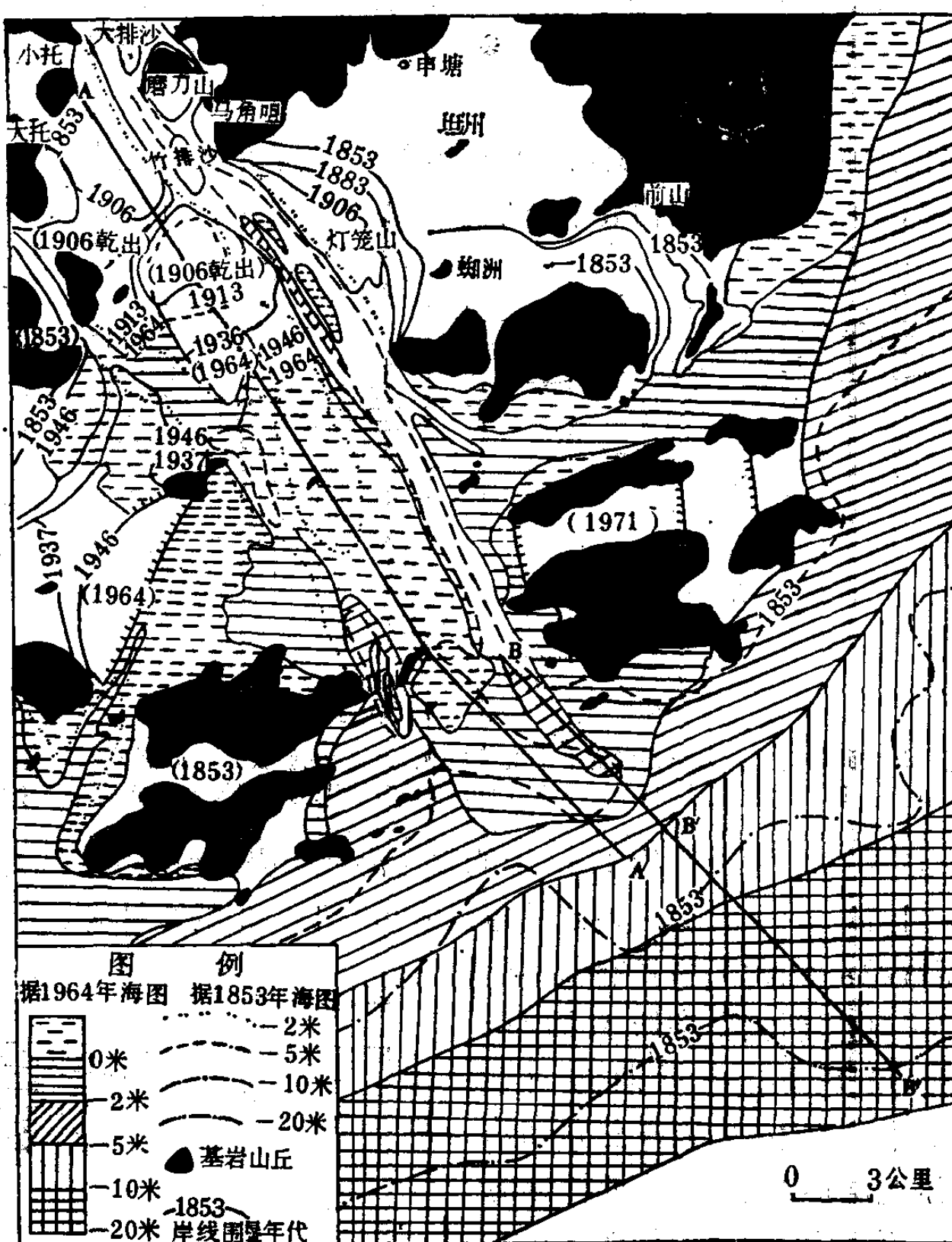


图 5 磨刀门河口地形演变(1853—1964)

(据1853年英国海军部水文局出版海图《CHINA EASTERN COAST, Sheet 1》、
1883年英国海图《CANTON RIVER》、1964年中国海图《磨刀门及三灶岛附近》
及历年陆地地形图编制)

* 据欧阳羽文,1674,香山县志;李卓揆,1750,香山县志;黄培芳,1827,香山县志。

** 据黄培芳,1827,香山县志。

形；小托南至今灯笼沙是水深 0.5—2 米的水下天然堤沙脊（图 5）。1883 年大排沙已露，口外仍为单一深槽；该图的小修改注明，1906 年小托南至天生河北已围垦成水稻田，灯笼沙洲头露出水面为近河口沙嘴。19 世纪末至 20 世纪初以后，竹排沙、大沙和二沙等河床沙洲相继出露和扩大。1964 年，交杯沙与石栏洲之间的 5 米等深线已消失，有明显的现代拦门沙，磨刀门深槽终止于小香洲附近。随着河口发展，拦门沙下移，灯笼沙以原拦门沙的侧翼和沙脊为基础，不断发展成纵向大沙洲。从灯笼沙六围尾到交杯沙这条指状沙脊，大潮低潮时干出，前端指向东南，面积约 100 平方公里，其上段鹤洲以北已抛石促淤，规划围垦。交杯沙已见于 1937 年地形图。以交杯石为节点，发育一条东北-西南向的长达 2.5 公里的沙堤，抗战时期长有野生红树林、芦苇，1946 年植被一

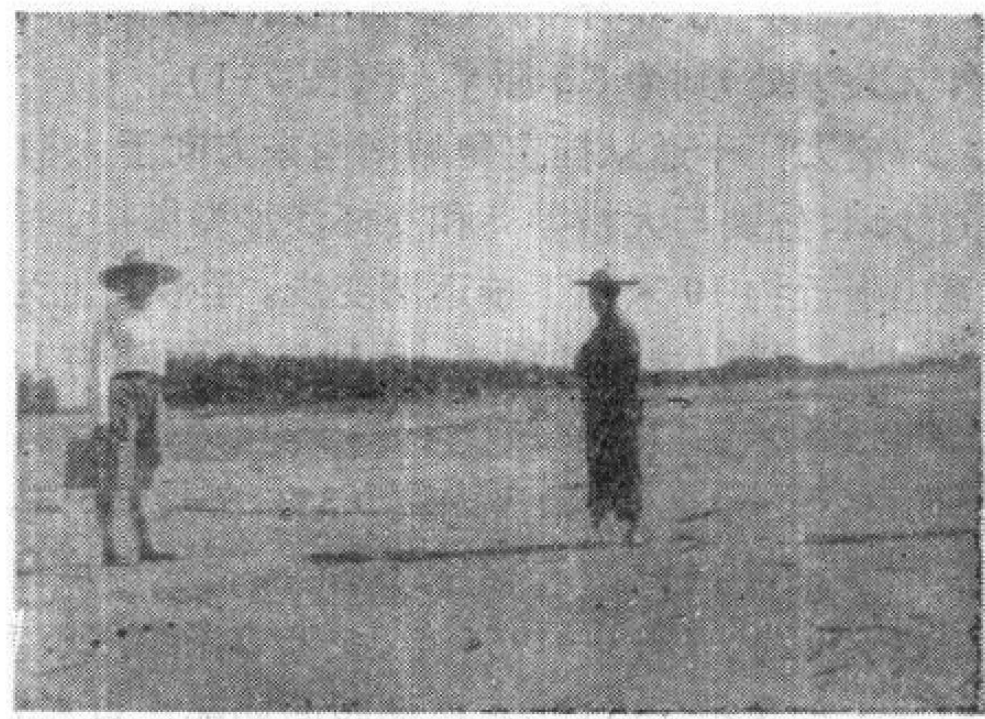


图 6 交杯石沙堤
(宋朝景摄，从沙堤的东北端望向西南端，
右远处隆起者为交杯石)

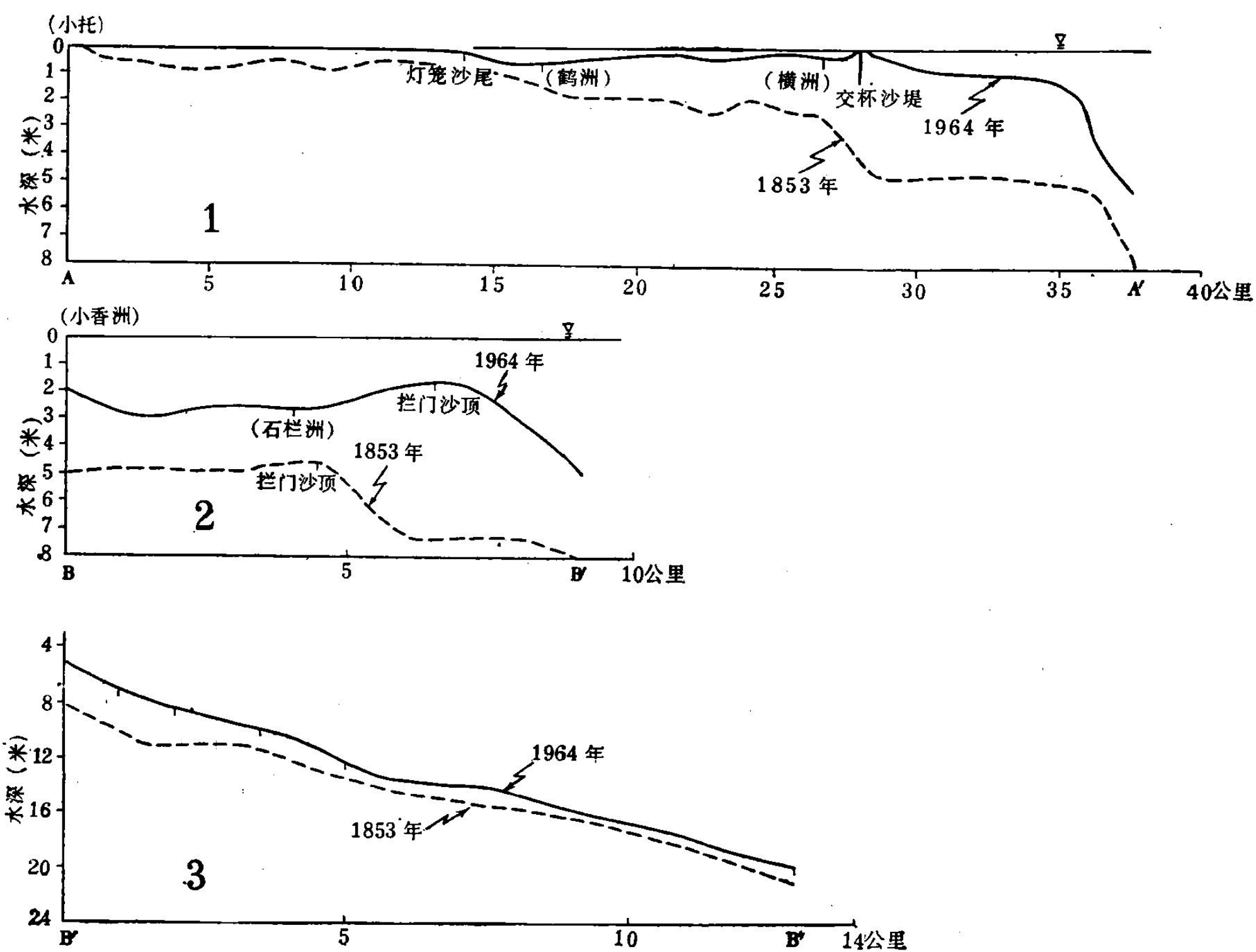


图 7 磨刀门口地形纵断面演进

度被台风吹毁，大约十年前种植的木麻黄已成林（图 6）。

1853—1964 年的 111 年间，岸线从小托南下移到灯笼沙六围尾，前进约 14 公里，平均每年延伸 126 米；2 米等深线从横洲北面向海推移 14.4 公里，平均每年延伸 130 米；平均沉积速率，在沙脊中部（鹤洲南至横洲北之间）为 1.5 厘米/年，在沙脊尾部（交杯沙沙堤外 7 公里处）则为 3.5 厘米/年（图 7-1）。

磨刀门干道从挂定角顺南南东方向于大横琴西入海，其拦门浅滩是向外弯的新月形的沙坝，分别与大横琴岛和交杯沙沙脊衔接，横锁河口，水深大部分不足 2 米。深槽从灯笼山附近约 10 米往下游逐渐变浅，至沙坝上为水深不足 2 米的浅槽，越过坝顶后水深逐渐增加。拦门浅滩的规模，据 1964 年测制的 1:50,000 海图量算，纵向距离从小横琴西深槽末—5 米至口外斜坡—5 米，长 13.7 公里，坝后内坡长 11.2 公里，坝前外坡长 2.5 公里，坝顶高程—1.7 米；斜率内坡 0.3‰，外坡 1.3‰，外坡比内坡陡 4.3 倍。据水声勘探记录*，拦门沙—17 或—21 米以下为基岩，沉积厚度约 20 米；如按照历史海图对比，沙体厚仅 6 米（图 7-2）。1853—1964 年，5 米等深线从小香洲起，大约外推了 9 公里，平均每年外推 81 米；如果把 1853 年石栏洲西面局部浅点 4.6 米处当作拦门沙的话，则坝顶外移了约 2 公里，平均每年外移 18 米；平均沉积速率，坝后为 2.2 厘米/年，坝顶为 4.9 厘米/年，坝前为 4 厘米/年。其口外海滨，10 米等深线外移了约 2.5 公里，平均每年外推 22.5 米；20 米等深线外移了 1 公里，平均每年外推 9 米；平均沉积速率，—10 米处为 2.16 厘米/年，—20 米处为 0.78 厘米/年（图 7-3）。

马骝洲水道水深绝大部分不足 1 米，两岸部分可以干出，中间只有一狭窄的深 2—4 米的浅槽。白藤与三灶之间的三灶内海为宽浅的小海湾，大部分在大潮低潮时可干出为潮坪，小部分不足 2 米。原来从白藤尾到大门有一条泥湾门口外的水下犁沟，白藤堵海后已迅速淤平了。原来从白藤头到龙屎窟的泥湾门口外深槽，也已淤浅，下段只有 2—4 米深，唯龙屎窟深潭水深仍保持 10—15 米。

二、磨刀门河口的表层沉积物

其底质一般东部比西部粗，口内比口外粗。底质样品的粒级百分含量，细砂（0.25—0.1 毫米）、粉砂（0.1—0.01 毫米）、淤泥（0.01—0.001 毫米）和粘粒（<0.001 毫米）等粒级的含量多；小砾（>1 毫米）和粗砂（1—0.5 毫米）仅见于浅滩的局部地点，含量极少，而中砂（0.5—0.25 毫米）的分布也不广，含量一般不超过 2%。磨刀门深槽粉砂含量较少，连续分布着细砂，有好几处细砂含量高达 90%，含量 50% 的等值线甚至爬上鹤洲浅滩边缘。三灶岛南面水下斜坡的细砂堆积直接来源于岛上的风化物。鹤洲—交杯沙沙脊和拦门沙沙坝上细砂极少，为高含量的粉砂，淤泥局部含量稍多，交杯沙的粉砂含量最高达 99%，其中重矿物含量高达 10%。三灶内海和口外海滨主要是粉砂、淤泥和粘粒的沉积，各占一定比例。按各种粒级百分含量的组成情况划分沉积类型（图 8），可见总的是遵循重力分异规律分布的，同地貌类型是一致的。

河口的沉积物是比较粗的，中值粒径在 0.02—0.17 毫米之间。交杯沙为 0.06 毫米，

* 据长江流域规划办公室物探大队水声组 1977 年资料。

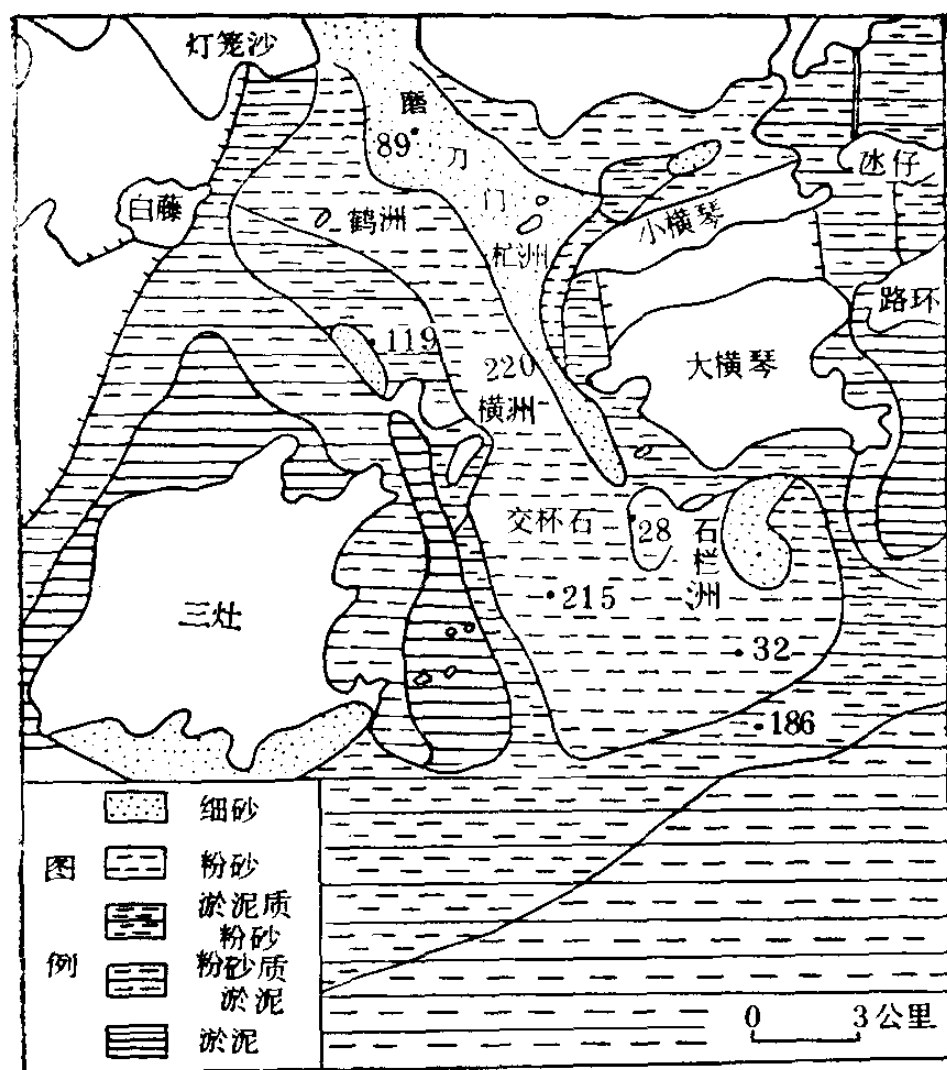


图 8 磨刀门河口表层沉积物类型

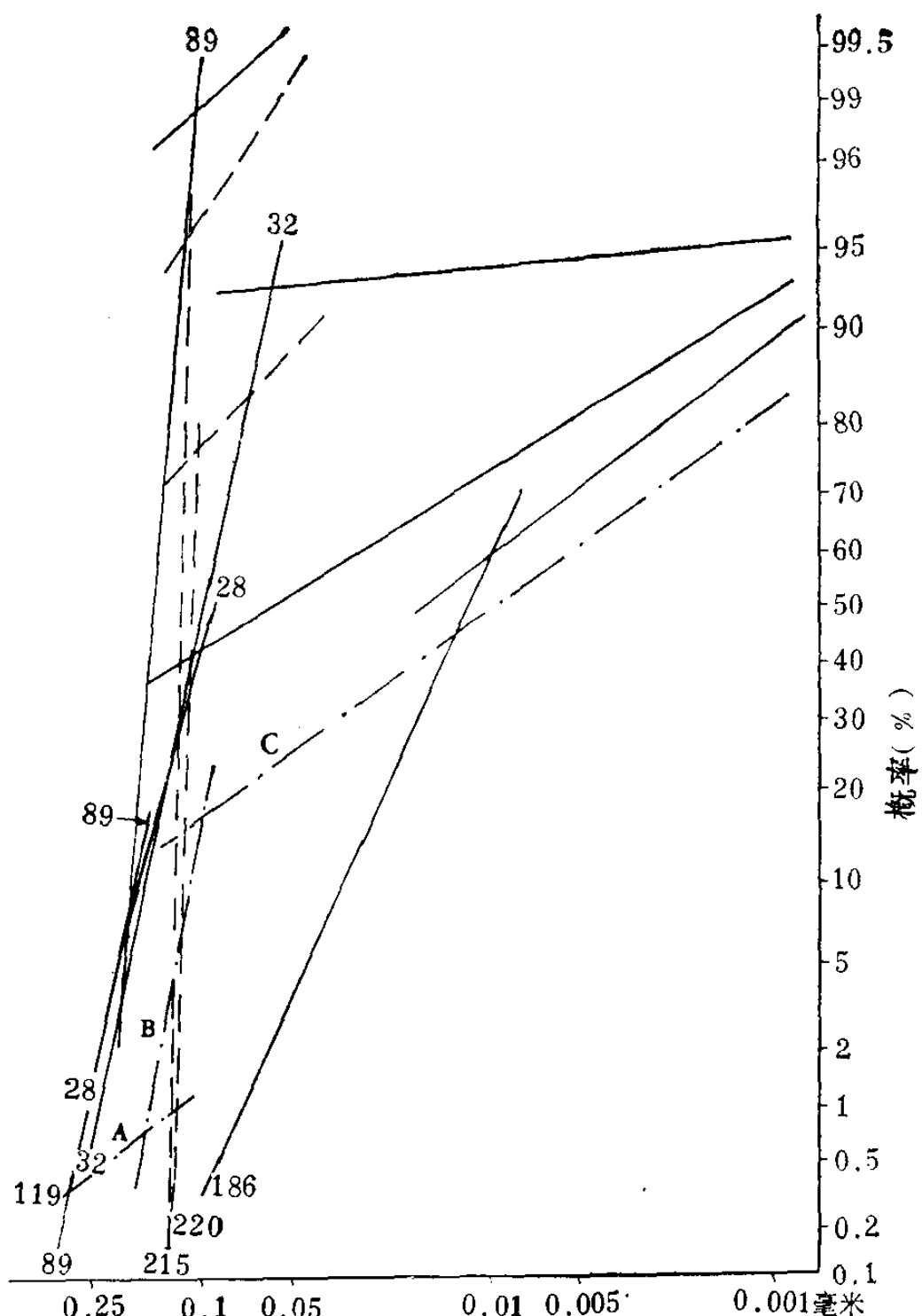


图 9 磨刀门河口表层沉积物粒度分析概率曲线

拦门沙为 0.04 毫米, 口外斜坡为 0.02 毫米; 深槽特粗, 为 0.10—0.17 毫米, 向西爬上鹤洲浅滩边缘为 0.12—0.13 毫米, 进入三灶内海变细为 0.03—0.02 毫米。深槽及其拦门沙和沙脊的跃移组份含量很高(图 9、表 1), 反映水流或波浪势力强, 机械搬运与沉积作用明显。但坝前、坝后和三灶内海的悬浮组份很多或较多, 反映盐水楔异重流活动和絮凝沉积作用突出。

表 1 沉积物粒度分析概率组份

地貌(样号)	A 滑动组份		B 跃移组份		C 悬浮组份	
	所占重量 (%)	斜率 (分选度)	所占重量 (%)	斜率 (分选度)	所占重量 (%)	斜率 (分选度)
深槽 89			99	细粒 85° 极好 粗粒 77° 很好	1	41° 中等
坝后 28			26	76° 很好	74	32° 差
坝顶 32			93	78° 很好	7	5° 极差
坝前 186			60	66° 好	40	38° 差
脊中 220			76	88° 极好	24	46° 中等
脊前 215			96	88° 极好	4	56° 中等
内湾 119	0.7	38° 差	15.3	80° 很好	84	36° 差

粉砂粒级的重矿物百分含量通常在 1% 左右。重矿物的组合类型比较一致, 为褐铁

矿-钛铁矿-磁铁矿组合，与西江河床及邻区伶仃洋的矿物组合^{*}相似。从优势矿物的沿程变化分析，褐铁矿是最稳定的矿物，其相对含量必然沿程递增，在西江河床平均为33.2%，至磨刀门水道为37.2%，至小香洲水道为61.01%，至三灶南高达68.62%，可见泥沙来自西江上游；褐铁矿在伶仃洋内是23.9%，至大横琴南的大西水道高达64.18%，可见也有泥沙按沿岸流方向运移来的。角闪石为不稳定矿物，其含量必然沿程递减，在珠江口以东海滨含量最高，伶仃洋为2.6%，至大西水道降为1.89%，至河口外为1%，这也说明了沿岸流的搬运作用。一般认为黄铁矿是浅海还原环境的产物，可作为海洋沉积的指示矿物。大西水道含量0.5%，河口内就没有。河口内有相同指示意义的海洋生物有孔虫、硅藻等遗骸很少，没有珊瑚碎屑。

三、磨刀门河口的动力条件

(一) 径流和泥沙

西江流域为亚热带季风型环流所控制，雨量充沛，年雨量1,200—1,800毫米。西江径流大，梧州站多年(1915—1972)平均年径流量2,197.3亿立方米，仅次于长江。年悬移质输沙量平均为6,570万吨。如以马口站计，多年(1959—1974)平均流量为7,460米³/秒，平均年径流总量为2,360亿立方米，汛期(4—9月)占77.7%，枯期(10—3月)占22.3%；历年(1960—1972)平均含沙量0.306公斤/米³，平均年悬移质输沙量为7,250万吨，占整个珠江河口区总沙量的86.97%。马口站年输沙量汛期占94.61%，枯期只占5.39%。估计每年从磨刀门输出的悬移质泥沙约2,078.57万吨(1,299.1万立方米)，其中汛期1,883.31万吨，枯期112.03万吨。

磨刀门灯笼山站多年平均流量2,130米³/秒，按造床流量为多年平均流量的两倍计，即4,260米³/秒，而进潮流量推查为1,850米³/秒，径流量与进潮量的比值为2.3，径流占主导地位。又从河口实测资料分析，除龙尾窟和大门外，各口断面的径流始终占主导地位(表2,3)。径流量与进潮量的比值>0.1者，一般在外形成拦门沙^[19]。磨刀门径流很强，所以拦门沙处于河口外。汛期洪水分别从小香洲、上沟、龙尾窟和原中心沟排出，枯期

表2 河口各口门断面流量分配(%)

断面	周日分配	1964.11.25—26		1965.5.3—4	
		进潮量	径流量	进潮量	径流量
上 沟		5.9	13.7	3.4	17.7
中 心 沟		0.4	12.2	0.8	2.4
小 香 洲		27.8	74.1	22.9	65.6
龙 尾 窟		59.9	0	65.6	14.3
大 门		6.0	0	7.3	0
合 计		100.0	100.0	100.0	100.0

(据广东省水文总站河口实验站)

* 据吴文中1978年资料。

表3 河口各口门断面径流量与进潮量的比值

周日 断面	灯笼山	上沟	中心沟	小香洲	龙屎窟	大门
1964.11.25—26	1.84	1.16	16.32	1.34	0	0
1965.5.3—4	16.16	3.68	1.90	2.02	0.15	0

径流则分别从小香洲、上沟和原中心沟排出。小香洲水道排洪量占大部分，是排洪干道。西江径流都没有从大门排出，只有汛期小部分洪水漫滩后从龙屎窟排出。河口下泄径流的情势从余流分析也得到证明。汛期余流量值比枯期大，小香洲水道海₁站汛期余流表层达79.3厘米/秒，底层达55.8厘米/秒；小香洲水道余流流向是顺槽床越过拦门沙指向东南；鹤洲南浅滩上的余流指向三灶内海和龙屎窟方向；上沟的余流指向东。

小香洲水道汛期和枯季的优势流（图10）也充分说明该水道是以下泄流占优势。汛期滞流点处于沙坝。枯季表层仍以下泄流为优势流，底层在小潮时为上溯流占优势，在中潮时滞流点位于海₂站上游约1.8公里（坝后）。滞流点导致淤积。

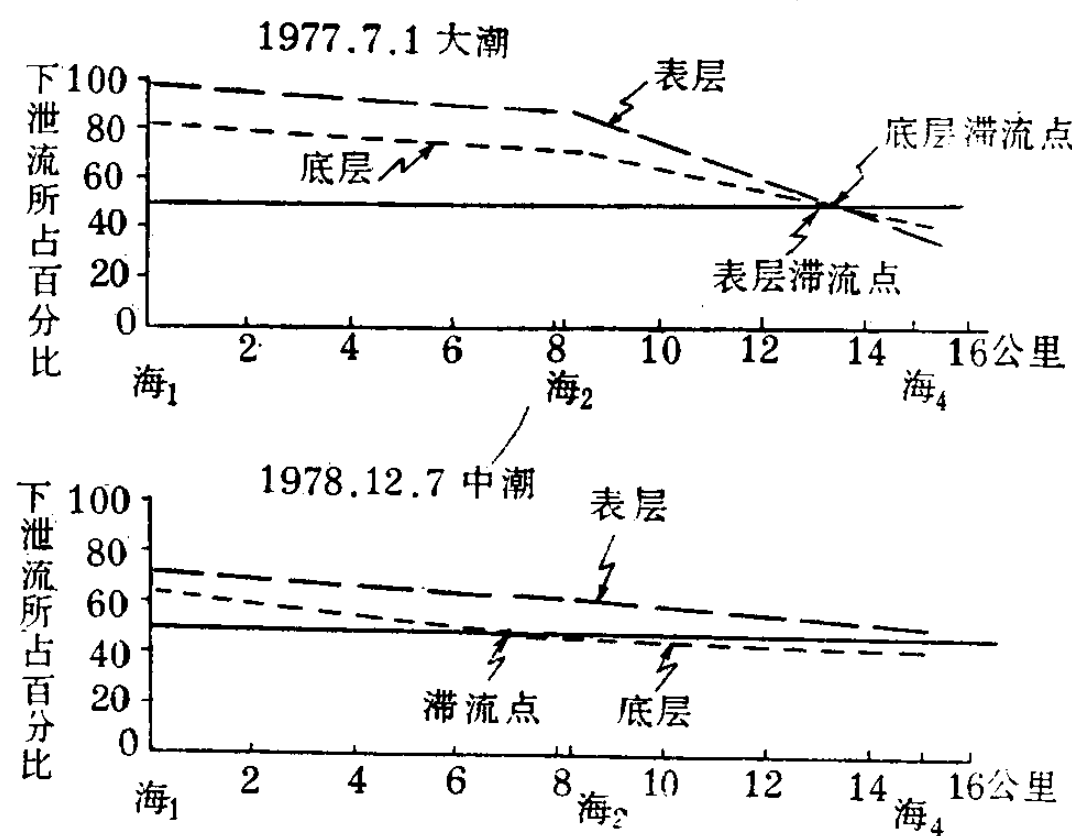


图10 小香洲水道优势流

西江及其河口悬移质中粉砂超过一半。河口悬沙粒径比上游略细，细颗粒的百分含量增多（表4）。河口的悬移质含沙量的变化受径流、盐水楔异重流和波浪的影响，总的规

表4 西江悬移质粒度百分含量(%)

(粒径单位：毫米)

粒度 断面(站)	粗砂 (1— 0.5)	中砂 (0.5— 0.25)	细砂 (0.25— 0.1)	粗粉砂 (0.1— 0.05)	中粉砂 (0.05— 0.025)	细粉砂 (0.025— 0.01)	粘粒 (0.01— 0.005)	胶粒 (<0.005)	有机质	最大粒径	中值粒径	平均粒径
中游高要断面平均 (1962.6.28)	1.1	3.8	15.1	16.0	21.8	19.8	9.2	13.2		1.26	0.032	0.063
河口挂定角			3.6	10.6	28.6	16.0	39.0	0.39	1.81	0.390	0.0082	0.0164

(据广东省水利科学研究所, 1976)